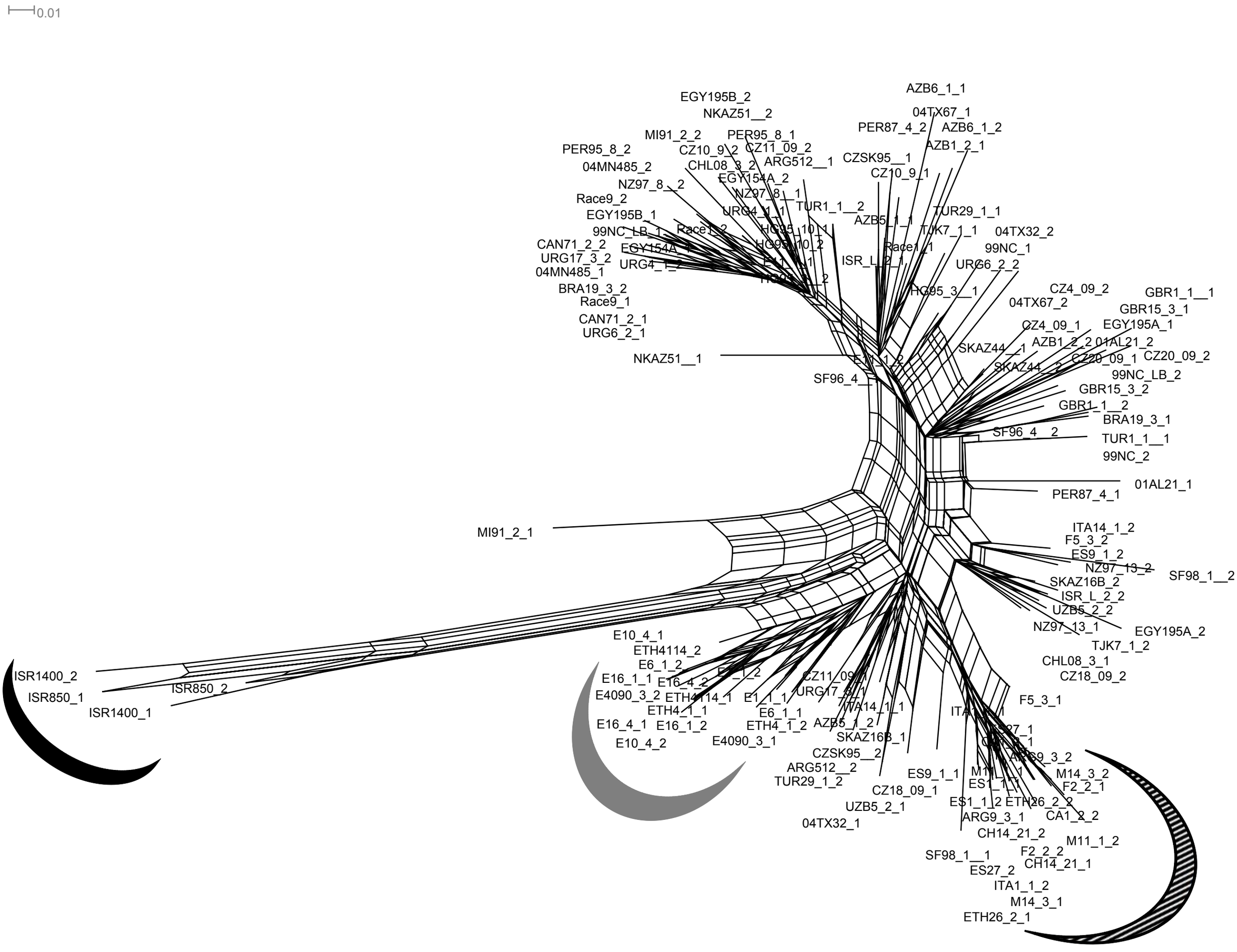
0.01
EGY195B_2
NKAZ51__2
MI91_2_2
PER95_8_1
PER95_8_2
CZ10_9_2
CZ11_09_2
04MN485_2
CHL08_3_2
ARG512__1
EGY154A_2
NZ97_8__2
NZ97_8__1
Race9_2
TUR1_1__2
EGY195B_1
99NC_LB_1
Race1_2
CAN71_2_2
URG17_3_2
04MN485_1
URG4_1_2
BRA19_3_2
Race9_1
CAN71_2_1
URG6_2_1
NKAZ51__1
SF96_4__1
MI91_2_1
ISR1400_2
ISR850_1
ISR850_2
ISR1400_1
E10_4_1
ETH4114_2
E6_1_2
E16_1_1
E16_4_2
E4090_3_2
ETH4114_1
ETH4_1_1
E16_4_1
E16_1_2
E10_4_2
E1_1_1
E6_1_1
ETH4_1_2
E4090_3_1
CZ11_09_1
URG17_3_1
ITA14_1_1
AZB5_1_2
SKAZ16B_1
CZSK95__2
ARG512__2
TUR29_1_2
UZB5_2_1
04TX32_1
CZ18_09_1
ES9_1_1
ARG9_3_1
CH14_21_2
SF98_1__1
ES27_2
ITA1_1_2
M14_3_1
ETH26_2_1
M11_1_2
F2_2_2
CH14_21_1
M14_3_2
F2_2_1
CA1_2_2
AZB6_1_1
04TX67_1
PER87_4_2
AZB6_1_2
AZB1_2_1
CZSK95__1
CZ10_9_1
TUR29_1_1
AZB5_1_1
TJK7_1_1
04TX32_2
99NC_1
Race1_1
ISR_L_2_1
URG6_2_2
HG95_3__1
CZ4_09_2
04TX67_2
GBR1_1__1
GBR15_3_1
CZ4_09_1
EGY195A_1
AZB1_2_2
01AL21_2
SKAZ44__1
CZ20_09_1
CZ20_09_2
SKAZ44__2
99NC_LB_2
GBR15_3_2
GBR1_1__2
BRA19_3_1
SF96_4__2
TUR1_1__1
99NC_2
01AL21_1
PER87_4_1
ITA14_1_2
F5_3_2
ES9_1_2
NZ97_13_2
SF98_1__2
SKAZ16B_2
ISR_L_2_2
UZB5_2_2
NZ97_13_1
EGY195A_2
TJK7_1_2
CHL08_3_1
CZ18_09_2
F5_3_1